

А К А Д Е М И Я Н А У К С С С Р
СИБИРСКОЕ ОТДЕЛЕНИЕ
А В Т О М Е Т Р И Я

№ 5

1972

УДК 621.375.8

Г. В. КРИВОЩЕКОВ, В. И. САМАРИН,
В. И. СТРОГАНОВ, В. М. ТАРАСОВ
(*Новосибирск*)

КАСКАДНОЕ ПРЕОБРАЗОВАНИЕ ЧАСТОТЫ
ЛАЗЕРНОГО ИЗЛУЧЕНИЯ
В НЕЛИНЕЙНЫХ КРИСТАЛЛАХ

Наиболее важная задача лазерной физики — поиск путей расширения области когерентного оптического излучения. Принципиально новым направлением является возбуждение нелинейных процессов на оптических частотах в нелинейных средах, что дает возможность преобразовывать спектр лазерного излучения. Цель данной работы — обратить внимание на широкие возможности каскадного преобразования частот для создания мощных источников когерентного ультрафиолетового излучения.

В общем случае анализ преобразования спектра лазерного излучения в нелинейных кристаллах в приближении медленных амплитуд для плоских волн при квазистационарном процессе сводится к решению системы неоднородных дифференциальных уравнений [1]:

$$(\vec{s}_n \vec{k}_n) (\vec{s}_n \nabla) A_n + \frac{i}{2} \Delta_{\perp} A_n + \vec{e}_n \hat{\gamma}_n \vec{e}_n A_n = -2i\pi \frac{\omega_n^2}{c^2} \vec{e}_n \vec{P}_n^{\text{нл}} \exp(i\vec{k}\vec{r} - i\omega_n t), \quad (1)$$

где \vec{s}_n , \vec{k}_n — лучевой и волновой векторы на частоте ω_n ; \vec{e}_n — единичные векторы поляризации; A_n — комплексные амплитуды взаимодействующих волн поля в среде $\vec{E} = \sum_n \vec{e}_n A_n e^{i\omega_n t - i\vec{k}_n \vec{r}}$; $\vec{P}_n^{\text{нл}}$ — нелинейная поляризация среды на частоте ω_n ; $\hat{\gamma}_n$ — тензор, описывающий линейное поглощение в кристалле. Апертурные эффекты, возникающие при взаимодействии реальных волн, учитываются членами в (1), содержащими лапласиан Δ_{\perp} по переменным в плоскости, перпендикулярной к направлению распространения луча. Влияние анизотропии (угол двупреломления β) для светового пучка радиуса a становится существенным на расстояниях так называемой апертурной длины $l_{\beta} = \frac{2am}{\beta}$, где параметр m определяется структурой лазерного излучения [2]. Дифракционная расходимость и поглощение среды сказываются на характерных расстояниях $l_d \approx \frac{k_n a^2}{2}$ и $l_{\pi} \sim \frac{k_n}{\gamma_n}$ соответственно.

Специфика процесса последовательного преобразования частоты лазерного излучения остается такой же, как при возбуждении второй

гармоники и суммарной частоты. В случае выполнения условий синхронизма (точного согласования фаз волны нелинейной поляризации и электромагнитной волны возбуждаемой частоты) амплитуда второй гармоники (при $\gamma \approx 0$, $\beta \approx 0$, $l_d \rightarrow \infty$) будет равна [3]

$$A_2 = A_{10} \operatorname{th}(\sigma_2 A_{10} z). \quad (2)$$

Для суммарной волны ($\omega_3 = \omega_1 + \omega_2$) [3]

$$A_3 = \frac{A_{20}}{A_{10}} \sqrt{\frac{\sigma_3}{\sigma_2}} \operatorname{sn}\left(\sqrt{\frac{\sigma_2}{\sigma_3}} \sigma_3 A_{10} z, p\right), \quad (3)$$

где $p = \sqrt{\frac{\sigma_1}{\sigma_2} \frac{A_{20}}{A_{10}}} \leq 1$; A_{10} , A_{20} , A_{30} — граничные значения амплитуд взаимодействующих полей (A_{20} для 2ω и A_{30} в случае смешения полагались равными нулю); σ_n — коэффициенты нелинейной связи; z — направление распространения взаимодействующих волн.

В случае неточного синхронизма $\Delta k = k_{10} + k_{20} - k_{3e} \neq 0$ имеем [4]

$$A_3 = A_{10} \left(\frac{p}{s_4} \right)^{1/2} \operatorname{sn}\left(A_{20} \sigma_3 \sqrt{\frac{s_4}{p}} z, \bar{p}\right), \quad (3')$$

где

$$\begin{aligned} \bar{p} &= \frac{1}{s_4} (s_1 + s_2 + s_3 - \sqrt{(s_2 - s_1)^2 + 2s_3(s_1 + s_2) + s_3^2}); \quad s_1 = \frac{\sigma_1}{2\sigma_3}; \\ s_2 &= \frac{\sigma_2 A_{10}^2}{2\sigma_3 A_{20}^2}; \quad s_3 = \frac{A_{10} \Delta k}{4\sigma_3 A_{20}^2}; \quad s_4 = 2 \sqrt{s_1 s_2}; \end{aligned}$$

$\operatorname{sn}(\zeta, p)$ — эллиптическая функция Якоби. Следует отметить, что при $A_2/A_1 \ll 1$ процесс возбуждения гармоник достаточно точно описывается приближением заданного поля ($A_1 = \text{const}$) [5]. При этом для синхронного взаимодействия волн

$$I_2 \sim \chi^2 I_1^2 L^2 \omega_1^2, \quad (4)$$

где χ — нелинейная восприимчивость; L — длина кристалла. Таким образом, при смешении в коротковолновую область спектра эффективность возбуждения гармоники возрастает пропорционально ω_1^2 . Вне синхронизма [5]

$$I_2 \sim I_1^2 \frac{\chi^2}{(n_{10} - n_{e2})^2} \sin \frac{\Delta k L}{2}. \quad (5)$$

Максимальная интенсивность возбуждения второй гармоники в этом случае

$$I_2^{\max} = \text{const} \chi^2 l_{\text{к.в.}}, \quad (6)$$

куда введена эффективная длина когерентного взаимодействия, явно не зависящая от λ_1 . Выражение (6) позволяет сравнить нелинейные среды при несинхронном взаимодействии волн, которое представляет значительный интерес в связи с возможностью преобразования спектра импульсов в область далекого ультрафиолета. Несинхронное преобразование лазерного излучения приобретает существенное значение в связи с отсутствием в настоящее время кристаллов, обеспечивающих синхронное взаимодействие в коротковолновой области ультрафиолета. В таблице

Кристалл	λ_1 , мкм	l_K , мкм	$l_{K\cdot\alpha}$	$\chi_{\text{отн}}$	$\chi^2 l_{K\cdot\alpha}^2$	Литература
KDP	1,06	11,43	10,8	$\chi_{36}=1$	113	[11]
KDP	0,69	9,85	14,2	$\chi_{36}=1$	200	[11]
LiIO ₃	1,06	2,4	2,26	$\chi_{31}=12$	720	[4]
Кварц	1,06	20,65	19,5	$\chi_{11}=0,77$	224	[11]
CdS	1,06	{1,7 1,8}	1,6 1,7	$\chi_{31}=32$ $\chi_{33}=63$	2600 11300	[12]
Cds	10,6	{50 67}	4,7 6,3	$\chi_{31}=10,5$ $\chi_{33}=17,5$	2420 12150	[13]
ZnTe	10,6	290	27,3	$\chi_{14}=36,7$	10 ³	[13]
GaAs	10,6	110	10,4	$\chi_{14}=146,7$	$2,32 \cdot 10^6$	[13]

приведены значения l_K , $l_{K\cdot\alpha}$, χ и эффективности преобразования во вторую гармонику ($\chi^2 l_{K\cdot\alpha}^2$) для ряда кристаллов*.

Согласование фаз взаимодействующих волн может быть в принципе получено за счет естественной оптической активности [6], которая значительно возрастает в области далекого ультрафиолета. Усредняя (5) по возможным малым расстройкам около направления синхронизма [4], можно получить более точное значение эффективности преобразования:

$$\eta = \eta_0 \left[\frac{2}{L \Delta_{\max}} \operatorname{si}(L \Delta_{\max}) - \frac{\sin^2 \left(\frac{L}{2} \Delta_{\max} \right)}{\left(\frac{L}{2} \Delta_{\max} \right)^2} \right], \quad (7)$$

где η_0 — соответствует коэффициенту преобразования в случае точного синхронизма. Из (5), (7) видно, что существует минимальная расстройка, когда $\eta = \eta_0/2$; соответствующее Δk определяет ширину синхронизма при нелинейном взаимодействии волн. Наличие двулучепреломления вызывает появление $\Delta k \neq 0$ при отходе от направления синхронизма. При этом

$$\Delta k = - \frac{2\omega}{c} \frac{\partial n_{2e}}{\partial \theta} \Big|_{\theta = \theta_c} \Delta \theta; \quad (8)$$

здесь θ_c — направление синхронизма; $\Delta \theta$ — угол отхода от синхронизма;

$$\frac{\partial n_{2e}}{\partial \theta} \Big|_{\theta = \theta_c} = \frac{n_{10}^3 (n_{2e}^2 - n_{20}^2) \sin 2\theta_c}{2n_{20}^2 n_{2e}^2}.$$

Из (5) следует, что угловая ширина синхронизма составляет

$$\Delta \theta_c = \frac{1,3916 \lambda_1}{\pi c L \left| \frac{\partial n_{2e}}{\partial \theta} \right|_{\theta = \theta_c}}. \quad (9)$$

Для примера на рис. 1 приведены значения $2\Delta\theta_c = \frac{\pi\delta\theta_c}{1,3916}$ (график 2 — ширина между нулями функции (5), а на рис. 2 показана дисперсия угла синхронизма $\theta_c(\lambda_1)$ (график 1) для кристалла LiIO₃. При пе-

*Для KDP $\chi_{36} = 3 \cdot 10^{-9}$ эл. ст. ед; $l_K = \frac{\lambda_1}{4(n_{10} - n_{2e})}$; $l_{K\cdot\alpha} = l_K/\lambda_1$.

ремещении в коротковолновую область спектра $2\Delta\theta_c$ уменьшается вплоть до $\lambda_1 \approx 0,7$ мкм, после чего $2\Delta\theta_c$ должно возрастать, что следует из

$$2\Delta\theta_c \simeq \frac{\lambda_1}{L(n_{2e} - n_{20}) \sin 2\theta_c}, \quad (10)$$

здесь $n_{2e} - n_{20} \approx \text{const}$, $\theta_c \rightarrow \frac{\pi}{2}$ (см. рис. 2). В случае 90° -го синхронизма, учитывая второй член разложения (8) (так как $\frac{\partial n_{2e}}{\partial \theta} \Big|_{\theta=\theta_c} = 0$), имеем:

$$\Delta k = -\frac{2\pi}{\lambda_1} n_{2e} \left(1 - \frac{n_{2e}^2}{n_{20}^2}\right) \Delta\theta^2; \quad (11)$$

$$\Delta\theta_c = 2 \sqrt{\frac{1,3916\lambda_1}{\pi n_{2e} L \left(1 - \frac{n_{2e}^2}{n_{20}^2}\right)}}. \quad (12)$$

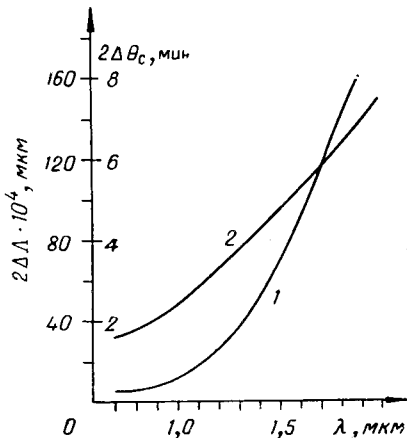


Рис. 1.

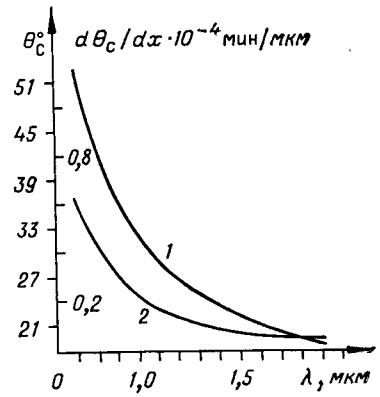


Рис. 2.

Из-за конечного спектрального состава лазерного излучения (λ_1) в силу дисперсионных характеристик среды необходимо учитывать частотную ширину синхронизма [7]

$$2\Delta\Lambda_1^c = \frac{\lambda_1}{L \left(\frac{\partial n_1}{\partial \lambda_1} - \frac{1}{2} \frac{\partial n_2}{\partial \lambda_2} \right)}. \quad (13)$$

Дисперсионная зависимость $2\Delta\Lambda_1^c$ для кристалла LiIO_3 ($L=1$ см) приведена на рис. 1 (график 1). На коэффициент преобразования при накачке (λ_1) с широким спектром влияет и «чувствительность направлений синхронизма» $\frac{d\theta_c}{d\lambda_1} \lambda_1$ (см. на рис. 2 график 2) [8].

Поглощение части излучения средой, помимо понижения интенсивности, приводит к ряду эффектов, таких как тепловое самовоздействие [9], температурное вращение плоскости поляризации лазерного излучения [10], перемещение направления синхронизма [11]. Ширина температурного синхронизма [7]:

$$2\Delta T_c = \frac{\lambda_1}{L \left| \frac{\partial n_{10}}{\partial T} - \frac{\partial n_{2e}}{\partial T} \right|_{T=T_c}}. \quad (14)$$

В далекой ультрафиолетовой области спектра возникает ряд трудностей, препятствующих широкой реализации метода последовательного умножения частоты, а именно (кроме отсутствия в изученных нелинейных кристаллах направлений синхронизма): существенное возрастание поглощения, значительная частотная дисперсия направлений синхронизма $\theta_c(\lambda_1)$ (например, для $\lambda_1=1,06$ мкм $d\theta_c/d\lambda_1=5 \cdot 10^2$ мин/мкм, для $\lambda_1=0,53$ мкм — $3 \cdot 10^4$ мин/мкм [12]) накладывают жесткие условия на ширину спектра и стабилизацию частоты излучения лазера.

Методом каскадного преобразования получены: третья гармоника ($\lambda=0,353$ мкм) лазера на стекле с неодимом (более 30 МВт при общем коэффициенте преобразования 4%) [13], а также четвертая ($\lambda=$

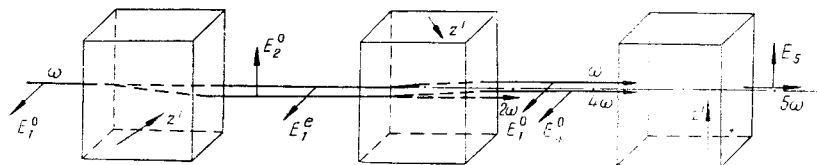


Рис. 3.

$=0,265$ мкм) [14] и пятая ($\lambda=0,212$ мкм) [15]. Максимально достигнутая мощность четвертой гармоники составляла 1 МВт [14] (эффективность относительно второй гармоники более 50%). При возбуждении пятой гармоники нелинейным смесителем использовался кристалл KDP, охлаждаемый до -70°C [15], выходная мощность достигала 1 кВт; вне синхронизма — 0,1—1 Вт. На рис. 3 приведена схема каскадного преобразования частоты до пятой гармоники включительно (z' — оптические оси). В нашем эксперименте при использовании кристалла LiIO_3 ($L=0,62$ см) в качестве первого преобразователя в каскаде возбуждения четвертой гармоники интенсивность второй гармоники была в три раза выше, чем при тех же условиях в кристалле KDP ($L=3$ см). Для точного выставления кристаллов в направлении синхронизма использовалось свойство неколлинеарного взаимодействия световых волн [16].

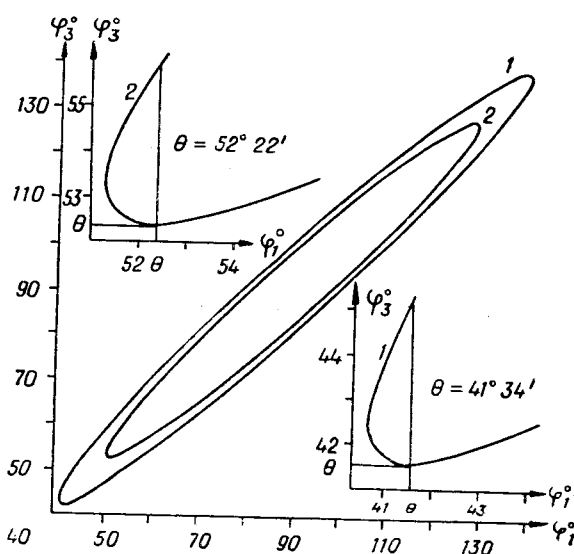


Рис. 4.

Плоскость главного сечения кристалла выделяет два направления распространения второй гармоники Φ_3 и Φ_3' из конуса лучей $2\omega_1$, образованного при векторном синхронном взаимодействии излучения накачки (ω_1) с излучением, рассеянным в кристалле (ω_1). На рис. 4 приведена зависимость углов φ_3 от угла падения φ_1 излучения накачки (ω_1) для кристалла ADP (взаимодействие $\text{oo} \rightarrow \text{e}$, кривая 1 — излучение лазера на стекле с неодимом; 2 — излучение рубина: φ_3 и φ_1 отсчитываются от оптической оси). В случае рас-

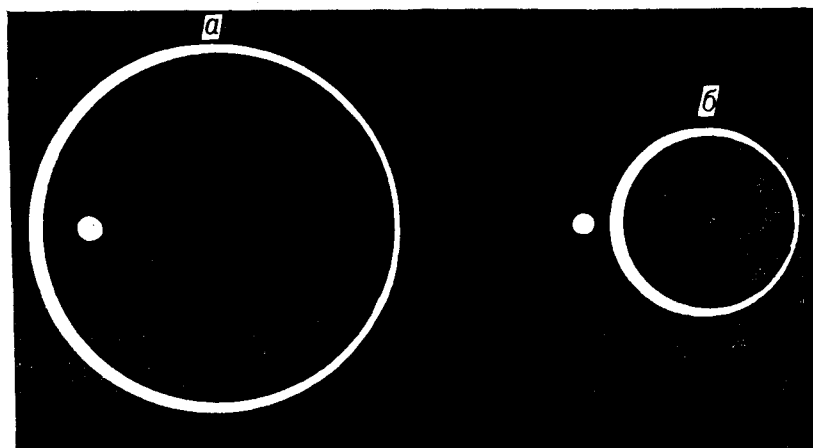


Рис. 5.

пространения излучения (ω_1) перпендикулярно к оптической оси ($\varphi_1 = -90^\circ$, $\varphi'_3 = \varphi''_3$) в дальнем поле имеем окружность ($2\omega_1$; векторное взаимодействие) и точку в центре этой окружности (несинхронная вторая гармоника). При $\theta_c < \varphi_1 < 90^\circ$ распределение подобно приведенному на рис. 5, а. Для $\varphi_1 = \theta_c$ точка лежит на окружности, а при $\varphi_1 < \theta_c$ выходит за окружность (см. рис. 5, б). Дальнопольная картина в ультрафиолетовой области спектра наблюдается на флуоресцирующем экране. Угол доориентации кристалла рассчитывается по измеренному отходу светлой точки от ближайшей части кольца.

В заключение следует отметить, что, несмотря на преимущества каскадного метода преобразования, еще предстоит решить ряд вопросов по оптимизации параметров источников накачки и самого процесса преобразования спектра.

ЛИТЕРАТУРА

1. С. А. Ахманов, А. П. Сухоруков, А. С. Чиркин. Нестационарные явления и пространственно-временная аналогия в нелинейной оптике.— ЖЭТФ, 1968, т. 55, вып. 4.
2. С. А. Ахманов, А. П. Сухоруков, А. С. Чиркин. Об апертурных органических эффективности оптических удвоителей частоты.— ИВУЗ, Радиотехника, 1967, т. 10, № 12.
3. Н. Бломберген. Нелинейная оптика. М., «Мир», 1966.
4. В. Д. Волосов. Влияние параметров излучения ОКГ и нелинейной среды на эффективность генерации второй оптической гармоники.— ЖТФ, 1969, т. 39, вып. 12.
5. С. А. Ахманов, Р. В. Хохлов. Проблемы нелинейной оптики. М., Изд-во АН СССР, 1964.
6. H. Rabin, R. P. Fey. Phase Matching in Harmonic Generation Employing Optical Rotatory Dispersion.— Phys. Rev., 1967, v. 156, № 3.
7. А. Г. Акманов. Исследование некоторых оптических эффектов в ультрафиолетовом диапазоне. Реф. дисс. М., 1969.
8. Б. И. Кидяров, Г. В. Кривощеков, П. Л. Митницкий, В. И. Самарин, В. И. Строганов, В. М. Тарасов. Дисперсия волнового синхронизма в кристалле LiIO_3 .— В сб. «Нелинейные процессы в оптике» (Труды II Вавиловской конференции по нелинейной оптике). Новосибирск, «Наука», 1972.
9. А. П. Сухоруков. Тепловая самофокусировка световых пучков.— В сб. «Нелинейные процессы в оптике» (Труды I Вавиловской конференции по нелинейной оптике). Новосибирск, «Наука», 1970.
10. С. И. Рыжакова, И. В. Томов. Тепловое нелинейное вращение плоскости поляризации лазерного излучения.— Вестник МГУ, физика, астрономия, 1971, № 2.

11. Т. В. Михина, А. П. Сухоруков, И. В. Томов. Влияние тепловых самовоз действий на протекание когерентных нелинейных оптических процессов.— ЖПС, 1971, т. 15, вып. 6.
12. А. Г. Акманов, А. И. Ковригин, Н. К. Подсotская. Различие частоты в оптических генераторах гармоник.— Радиотехника и электроника, 1969, т. 14, вып. 8.
13. Р. Б. Андреев, В. Д. Волосов, А. А. Мак, Б. Г. Малинин, А. И. Степанов. Генерирование ультрафиолетового излучения методом последовательного преобразования частот.— Оптика-механическая промышленность, 1969, № 8.
14. Л. В. Норинский, В. А. Колосов. Эффективная генерация мощного когерентного ультрафиолетового излучения.— Письма в ЖЭТФ, 1971, т. 13, вып. 4.
15. А. Г. Акманов, С. А. Ахманов, Б. В. Жданов, А. И. Ковригин, Н. К. Подсotская, Р. В. Хохлов. Генерация когерентного излучения на $\lambda=2120$ Å путем каскадного преобразования частоты.— Письма в ЖЭТФ, 1969, т. 10, вып. 6.
16. Г. В. Кривошеков, В. И. Строганов, В. И. Самарин, В. М. Тарасов. Некоторые особенности векторного синхронного взаимодействия световых волн в анизотропных кристаллах.— Оптика и спектроскопия, 1972, т. 33.

Поступила в редакцию
9 марта 1972 г.
